



DIRO
IFT 3205

TRAITEMENT DU SIGNAL TOMOGRAPHIE

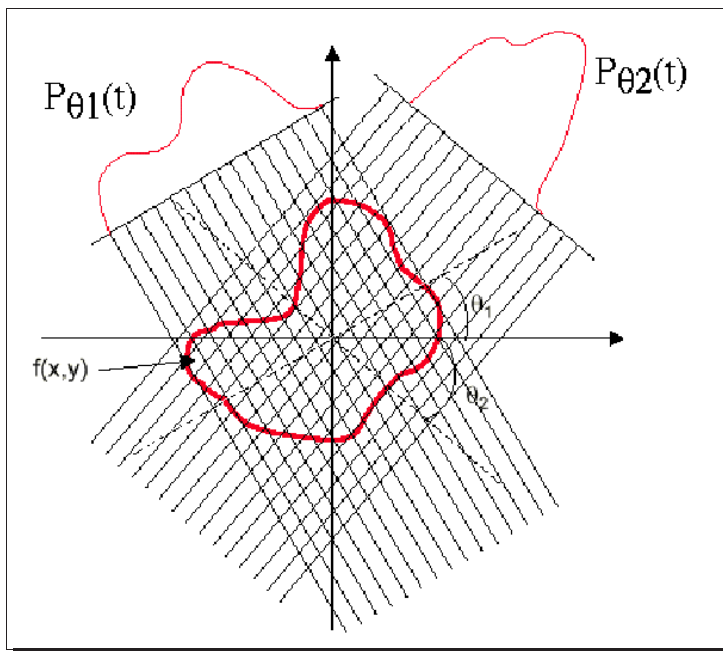
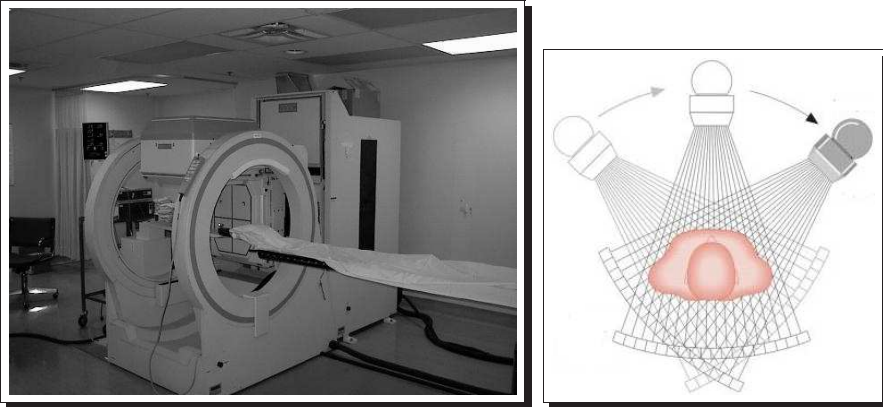
Max Mignotte

Département d'Informatique et de Recherche Opérationnelle.
Http : [//www.iro.umontreal.ca/~mignotte/ift3205](http://www.iro.umontreal.ca/~mignotte/ift3205)
E-mail : mignotte@iro.umontreal.ca

TOMOGRAPHIE SOMMAIRE

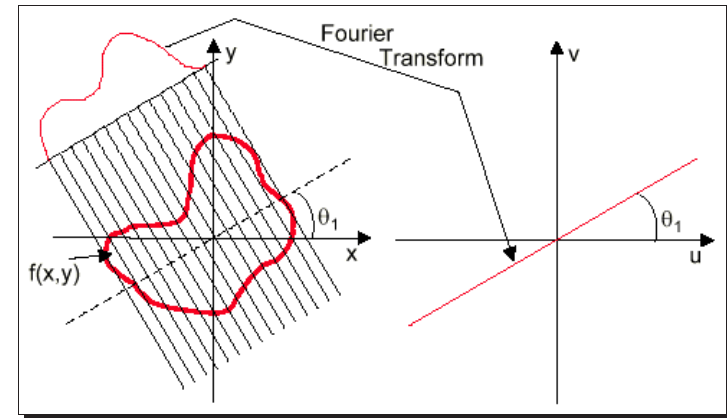
Reconstruction à partir de projections	2
Théorème de la tranche centrale	3
Exemples de reconstruction	7
Application de la tomographie	8

TOMOGRAPHIE RECONSTRUCTION À PARTIR DE PROJECTIONS



2

TOMOGRAPHIE THÉORÈME DE LA TRANCHE CENTRALE (1)



Considérons la Transformée de Fourier de $f(x, y)$

$$F(u, \nu) = \iint f(x, y) \exp(-2\pi j(ux + \nu y)) dx dy$$

Que représente la ligne $\nu = 0$ du spectre de Fourier ?

$$F(u, 0) = \int \left[\int f(x, y) dy \right] \exp(-2\pi j(ux)) dx$$

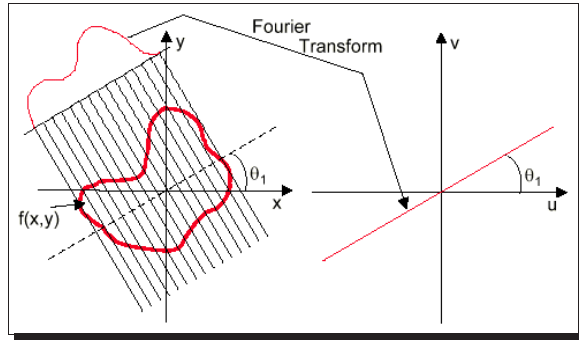
$$F(u, 0) = \mathcal{F}(p_{\theta=0^\circ}(t)) \text{ de même } F(0, \nu) = \mathcal{F}(p_{\theta=90^\circ}(t))$$

Plus généralement, pour une projection de l'image suivant un axe de projection passant par l'origine et orienté selon un angle θ

$$p_\theta(t) = \int_l f(x, y) dl$$

3

TOMOGRAPHIE THÉOORÈME DE LA TRANCHE CENTRALE (2)



Une ligne de projection au point t est
 $x \cos \theta + y \sin \theta = t$

On obtient donc

$$p_{\theta}(t) = \iint f(x, y) \delta(x \cos \theta + y \sin \theta - t) dx dy$$

La TF de $p_{\theta}(t)$ est

$$P_{\theta}(w) = \int p_{\theta}(t) \exp(-2\pi j w t) dt$$

$$P_{\theta}(w) = \int \left[\iint f(x, y) \delta(x \cos \theta + y \sin \theta - t) dx dy \right] \exp(-2\pi j w t) dt$$

En utilisant la propriété $f(x)\delta(x-a)=f(a)\delta(x-a)$

$$P_{\theta}(w) = \iint f(x, y) \exp(-2\pi j w [x \cos \theta + y \sin \theta]) dx dy$$

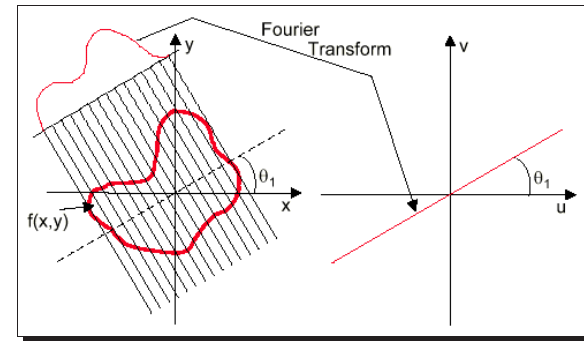
Sachant que la TF 2D est

$$F(u, v) = \iint f(x, y) \exp(-2\pi j (ux + vy)) dx dy$$

TOMOGRAPHIE THÉOORÈME DE LA TRANCHE CENTRALE (3)

Si on pose $u = w \cos \theta$ et $v = w \sin \theta$, on a l'équation de l'axe de projection dans le domaine de Fourier

Donc à une ligne du spectre de Fourier d'orientation θ correspond la TF de la projection de l'image selon cet angle



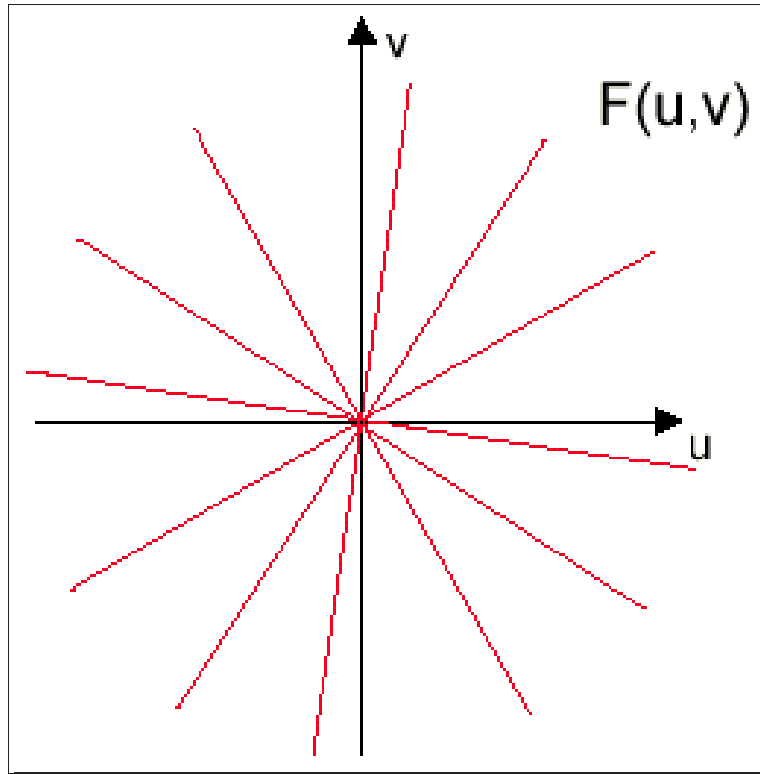
Si on empile les différentes projections $p_{\theta}(t)$ d'une image dans une matrice on obtient la Transformée de Radon



Image lenna

TF Radon

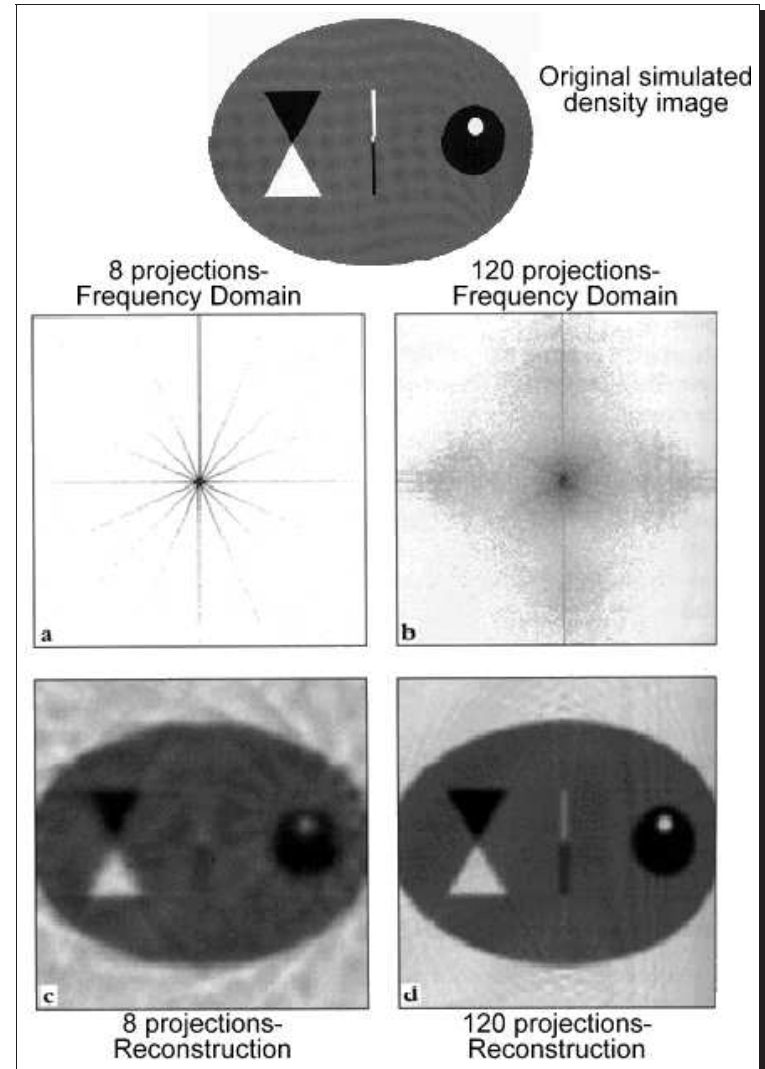
TOMOGRAPHIE THÉORÈME DE LA TRANCHE CENTRALE (4)



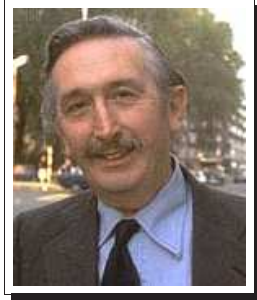
Reconstruction

- 1– Interpolation des points manquant de $F(u, \nu)$
- 2– Transformée de Fourier inverse de $F(u, \nu)$ pour obtenir $f(x, y)$

TOMOGRAPHIE EXEMPLES DE RECONSTRUCTIONS



TOMOGRAPHIE APPLICATIONS DE LA TOMOGRAPHIE (1)

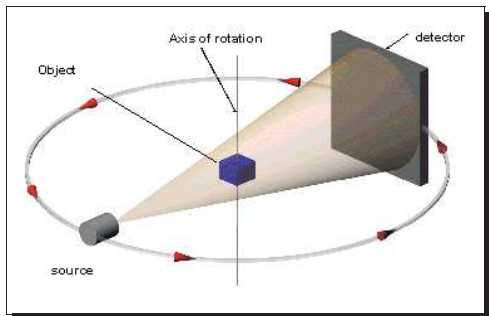


Sir Godfrey Hounsfield
Inventeur de la Reconstruction tomographique, 1972
Prix Nobel en 1979

La **Reconstruction Tomographique** (Computerized Tomography) est une technique permettant de reconstruire le volume d'un objet à partir de ses projections

Plusieurs applications possibles selon :

- Le type de source utilisé
- Le medium utilisé
- Le type d'information qu'enregistrent les capteurs

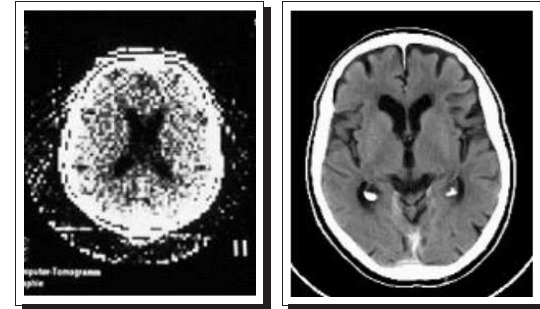


8

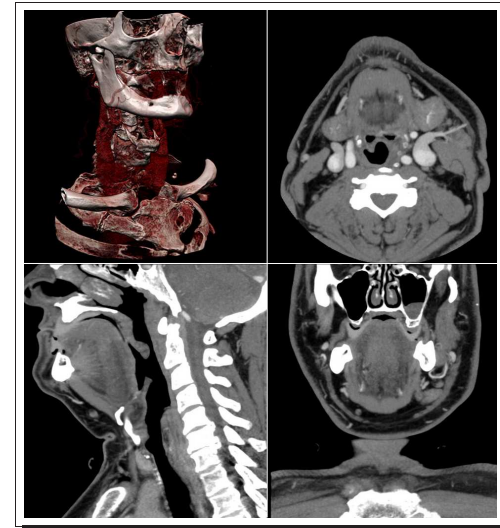
TOMOGRAPHIE APPLICATIONS DE LA TOMOGRAPHIE (2)

Tomodensitométrie ou CT-scan

ou scanographie, tomographie axiale ou scanner (1ère application de la tomographie) est une technique qui utilise l'absorption des rayons X par les tissus biologiques

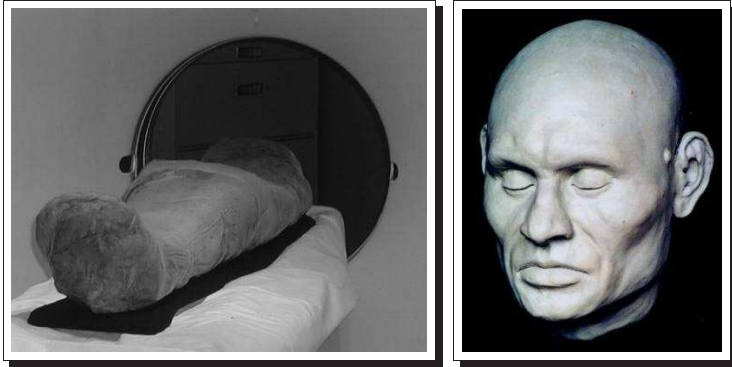


Une des première CT image (1975) et image actuelle



9

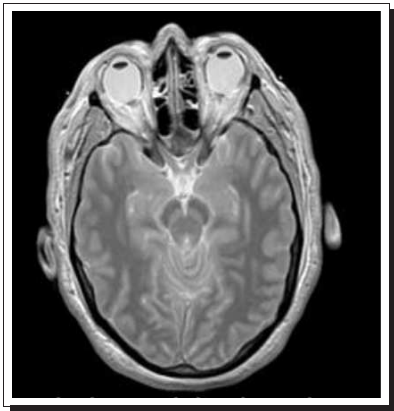
TOMOGRAPHIE APPLICATIONS DE LA TOMOGRAPHIE (3)



Reconstruction faciale de l'intérieur d'une momie

Imagerie par Résonance Magnétique

L'IRM applique des ondes électromag. sur une partie du corps et ces détecteurs mesurent le signal réémis par certains atomes (comme l'hydrogène). Permet d'imager les *tissus mous* mais pas les *tissus durs* (os)



10

TOMOGRAPHIE APPLICATIONS DE LA TOMOGRAPHIE (4)

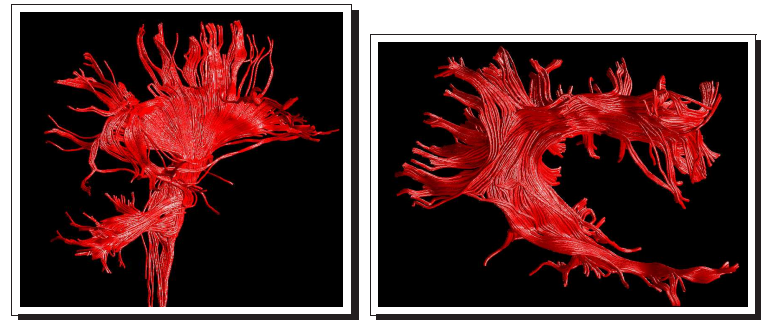
Angiographie par IRM

Pour imager les vaisseaux sanguins, on injecte un agent de contraste dans les veines du patient et on utilise l'IRM



Tratographie par IRM

La tractographie par IRM reconstruit en 3D les grands faisceaux anatomiques et la microstructure et de l'organisation des tissus (exploite l'effet des inhomogénéités du milieu étudié sur le mouvement des molécules d'eau)



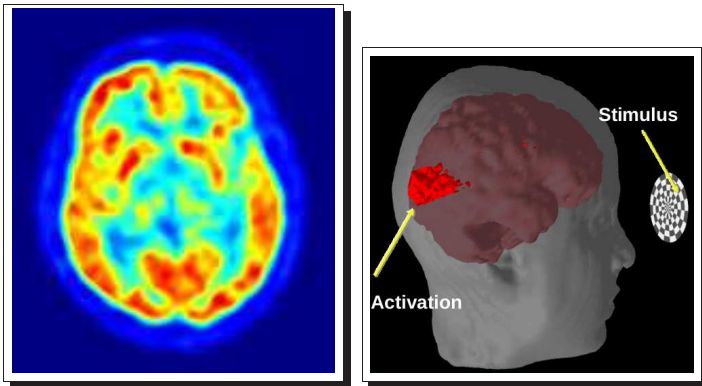
11

TOMOGRAPHIE

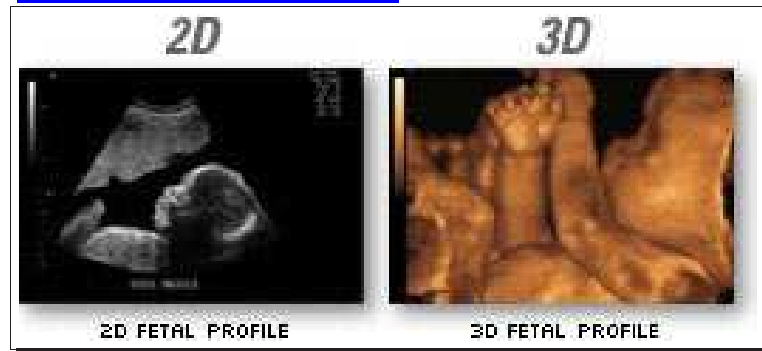
APPLICATIONS DE LA TOMOGRAPHIE (5)

Tomographie par Émission de Positons

Permet de reconstruire en 3D l'activité métabolique d'un organe grâce aux émissions produites par les positons (ou positrons) issus de la désintégration d'un produit radioactif injecté au préalable



Tomographie Ultrasonique



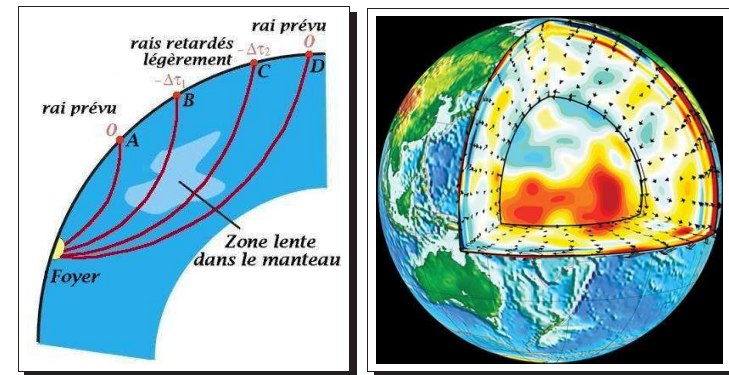
TOMOGRAPHIE

APPLICATIONS DE LA TOMOGRAPHIE (6)

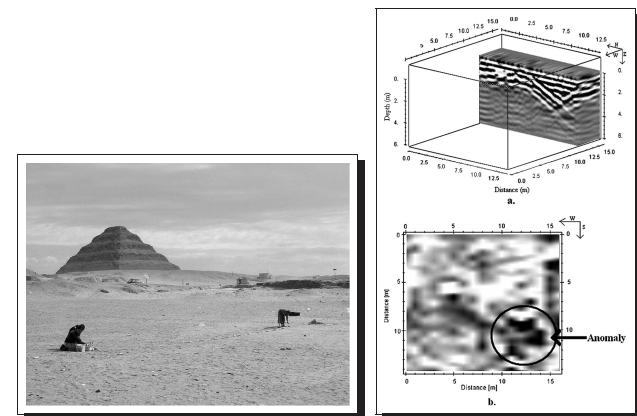
Tomographie Sismique

Consiste à visualiser les variations de vitesse des ondes sismiques dans la structure interne du globe terrestre associées à des variations de température des roches

1 À l'échelle d'un continent

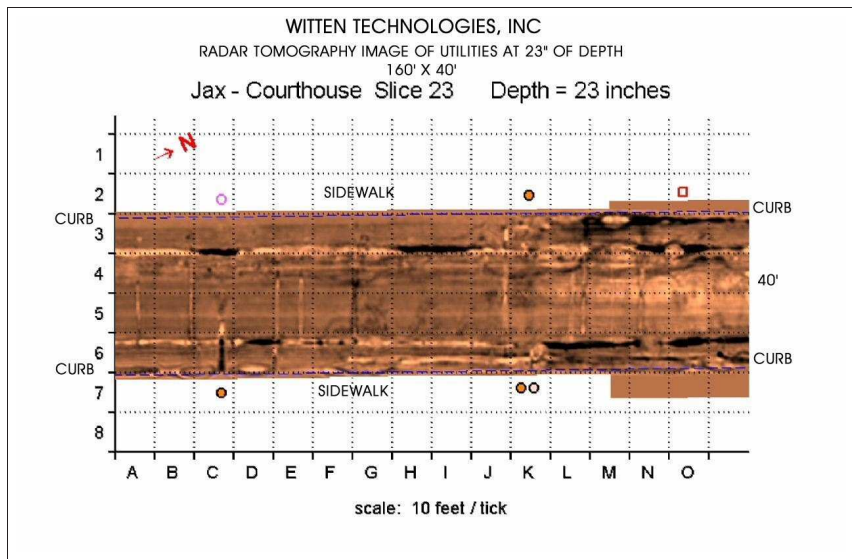


2 À l'échelle d'une petite zone géographique



TOMOGRAPHIE APPLICATIONS DE LA TOMOGRAPHIE (7)

3 À l'échelle de quelques m²

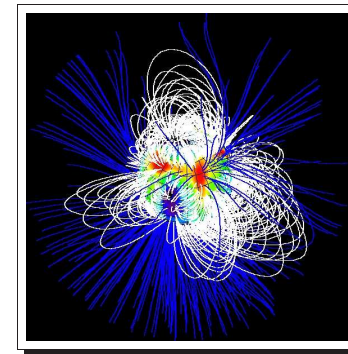


14

TOMOGRAPHIE APPLICATIONS DE LA TOMOGRAPHIE (8)

Tomographie Zeeman-Doppler

Destinée à cartographier le champ magnétique à la surface des étoiles, cette technique d'imagerie utilise la capacité des champs magnétiques stellaires à absorber la lumière émise dans les raies spectrales formées dans l'atmosphère de l'étoile en rotation (effet Zeeman)



Autres Applications

- Contrôle non destructif
- Tomographie en cohérence optique
- Microscope à effet de champ
- Cryotomographie électronique
- Tomographie par projection optiques
- Imagerie photo-acoustique
- Tomographie acoustique de l'océan
- Tomographie quantique
- Tomographie par induction magnétique
- Tomographie par capacitance électrique
- ...

15